



Universidade do Minho
Escola de Engenharia

Universidade do Minho
Escola de Engenharia
Mestrado em Engenharia Informática

Unidade Curricular de Visualização e Iluminação

Ano Letivo de 2024/2025

Projeto final - Grupo 1

Martim Redondo Jéssica Cunha
PG57889 A100901

Francisco Afonso
PG57873

Junho, 2025

Índice

1. Introdução	1
2. Acceleration Structure - BVH	1
2.1. Fundamentação Teórica	1
2.2. Implementação	1
2.3. Inovação: Dual BVH System	2
2.4. Resultados e Performance	2
3. Tone Mapping	2
3.1. O Problema HDR	2
3.2. Evolução da Implementação	3
3.3. Algoritmos Implementados	3
3.4. Comparação Visual	4
4. Alternative Cameras	4
4.1. Fisheye Camera	4
4.2. Características e Aplicações	5
4.3. Orthographic Camera	6
4.4. Performance	7
5. Conclusão	7
6. Referências	8

Listas de Figuras

Figura 1 Comparação visual entre os diferentes algoritmos de <i>Tone Mapping</i>	4
Figura 2 Todos os tipos de configurações do Fisheye.	5
Figura 3 Perspective VS Fisheye 180º	6
Figura 4 Comparação visual entre as diferentes câmaras e angulos	7

Listas de Tabelas

Tabela 1 Comparação do programa com HBV e sem HBV para cenas com diferentes primitivas	2
Tabela 2 Speed up com e sem o uso do BVH em diferentes cenas com diferente número de primitivas	2

1. Introdução

O seguinte documento aborda a implementação das três funcionalidades avançadas, escolhidas pelo grupo, para o *Ray Tracing* desenvolvido no âmbito da Unidade Curricular de Visualização e Iluminação. As *features* escolhidas foram: **Acceleration Structure: BVH**, **Alternative Cameras** e **Tone Mapping**.

Estas melhorias visam aumentar, significativamente, o desempenho e a versatilidade do sistema de renderização, seguindo, rigorosamente, as referências académicas fornecidas pelo professor, nomeadamente o livro “Physically Based Rendering” (PBRT).

2. Acceleration Structure - BVH

2.1. Fundamentação Teórica

O *Bounding Volume Hierarchy* (BVH) é uma ferramenta a ser referida quando o tema é *Ray Tracing* moderno. A nossa implementação segue, fielmente, a abordagem descrita nos capítulos **4.3 (2^a edição)** e **4 (3^a edição)**, garantindo uma base teórica sólida e uma performance otimizada.

O BVH organiza os objetos de uma cena 3D de forma hierárquica, onde cada nó da árvore contém uma *bounding box* que conterá **X** objetos nos ramos subsequentes. Desta forma, consegue-se descartar de forma eficiente grandes grupos de primitivas durante o teste de interseção com raios, reduzindo a complexidade de $O(N)$ para $O(\log N)$.

2.2. Implementação

Seguindo o livro **PBRT (capítulos 4.3 e 4)**, implementámos um BVH com as seguintes características:

- **Construção com SAH (Surface Area Heuristic):** O algoritmo analisa diferentes formas de dividir as primitivas e escolhe a melhor com base no custo mínimo da travessia. Isto resulta em árvores mais equilibradas e eficientes.
- **Representação Linear Compacta:** Após a construção, a árvore é convertida para um *array linear*, melhorando, assim, a localidade da *cache* durante a travessia. Cada nó ocupa, exatamente, 32 bytes, para se conseguir obter o máximo de eficiência possível.
- **Travessia Otimizada:** Uso de uma *stack explícita* em vez de *recursão* e pré-computamos alguns valores, como o inverso da direção do raio, para acelerar os testes de interseção e, mais uma vez, maximizar a eficiência do algoritmo.

2.3. Inovação: Dual BVH System

Além da implementação padrão proposta no **PBRT** (**capítulos 4.3 e 4**), decidiu-se que seria benéfico ter um sistema inovador com dois BVHs separados:

- **BVH Principal:** Para toda a geometria da *scene*;
- **Light BVH:** Exclusivo para fontes de luz de área.

Esta separação permite otimizações específicas para cálculos de iluminação direta, particularmente útil em cenas com muitas luzes.

2.4. Resultados e Performance

Primitivas	Com HBV	sem BVH
1k	0.618 seg	19.786 seg
10k	6.328 seg	308.778 seg
100k	42.154 seg	4096.731 seg
1M	514.243 seg	51266.912 seg

Tabela 1: Comparação do programa com HBV e sem HBV para cenas com diferentes primitivas

Cena	Primitivas	com BVH	sem BVH	Speedup
Cornell Box	37	14.603 seg	19.132 seg	1.31x
Massive Sphere Scene	1k	0.618 seg	19.786 seg	32.02x
Massive Sphere Scene	10k	6.328 seg	308.778 seg	48.80x

Tabela 2: Speed up com e sem o uso do BVH em diferentes cenas com diferente número de primitivas

O sistema de monitorização integrado (*debugging*) permite acompanhar a eficácia do BVH em tempo real, mostrando estatísticas como:

- *hit rate*;
- número de testes de interseção evitados.

3. Tone Mapping

3.1. O Problema HDR

O *Ray Tracing* produz imagens com valores de iluminação que podem variar de 0 a milhares, contudo os monitores apenas conseguem mostrar valores entre 0 e 1.

O **Tone Mapping** resolve este problema comprimindo o range dinâmico, tentando ao máximo, preservar os detalhes visuais.

3.2. Evolução da Implementação

Situação Original: O sistema aplicava, automaticamente, o algoritmo *Reinhard Basic*, contudo durante a implementação reparou-se que esta automatização limitava a flexibilidade artística e não permitia uma comparação autêntica entre diferentes algoritmos.

Nova Arquitetura: O *Tone Mapping* automático foi removido e substituído por um sistema modular e configurável.

O *Reinhard Basic*, anteriormente *hardcoded*, tornou-se uma das cinco opções disponíveis. Esta mudança permite:

- Escolha consciente do algoritmo;
- Possibilidade de se obterem imagens HDR sem *Tone Mapping*;
- Comparação direta entre diferentes algoritmos.

3.3. Algoritmos Implementados

Implementámos cinco algoritmos diferentes, cada um com características específicas:

- **Reinhard Basic:** O método clássico que usa a fórmula $\frac{L}{1+L}$. Simples mas eficaz para a maioria das cenas;
- **Reinhard Advanced:** Extensão que permite controlar o “*burn out*” de áreas muito brilhantes através de um parâmetro específico deste algoritmo, *white point*.
- **ACES (Academy Color Encoding System):** O padrão da indústria cinematográfica pois, produz resultados com maior contraste e cores mais vibrantes, ideal para imagens finais de alta qualidade.
- **Exposure:** Simula o comportamento de filme fotográfico usando a fórmula $1 - e^{-\text{exposure} \times L}$. Permite controlo intuitivo através de um único parâmetro.
- **Linear:** Multiplicação simples com *clamp*. Útil como *baseline* e para cenas com range dinâmico limitado.

3.4. Comparação Visual

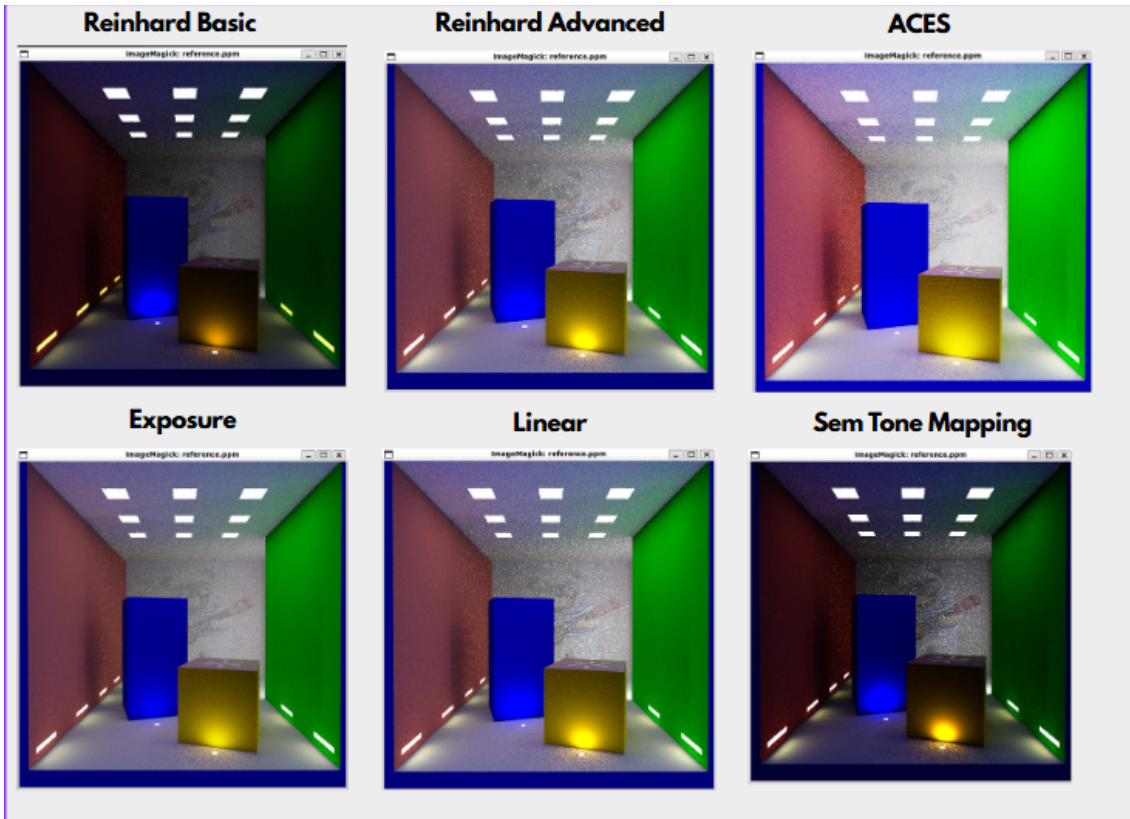


Figura 1: Comparação visual entre os diferentes algoritmos de *Tone Mapping*

Cada algoritmo tem aplicações específicas:

- **ACES**: Produção final, aspeto cinematográfico;
- **Reinhard**: Uso geral, boa preservação de detalhes;
- **Exposure**: Controlo artístico intuitivo.

4. Alternative Cameras

4.1. Fisheye Camera

Implementámos uma câmara **Fisheye** completa com quatro modelos de projeção diferentes, cada um adequado para aplicações específicas:

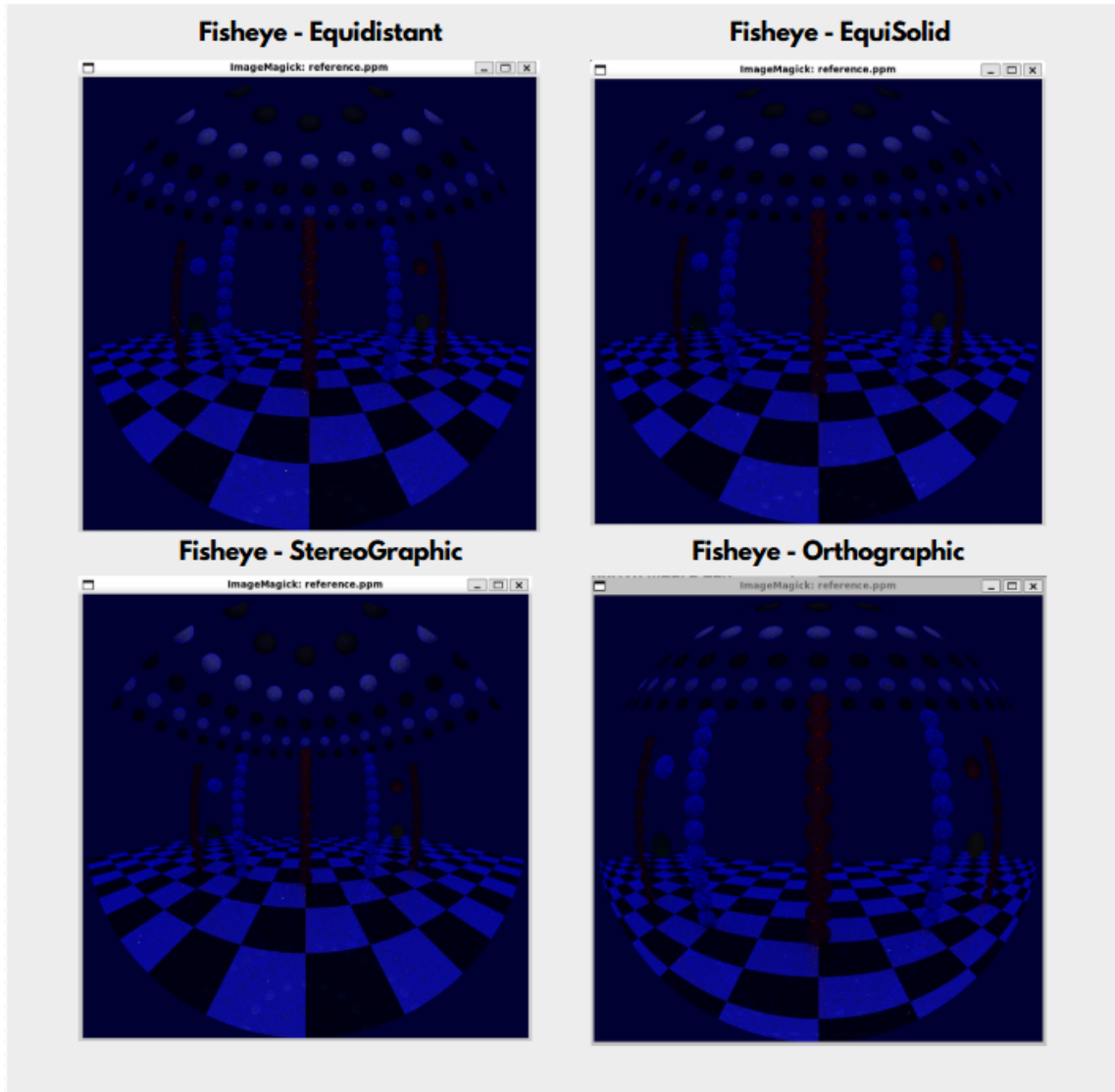


Figura 2: Todos os tipos de configurações do Fisheye.

As mudanças nas imagens podem não ser totalmente evidentes, contudo, na teoria e até mesmo, com atenção na prática, iremos ver os seguintes pormenores:

- **Stereographic:** Máxima distorção nas bordas, ideal para navegação (preserva direções);
- **Equidistant:** Distorção uniforme, ideal para medições angulares;
- **Equisolid:** Balanceada, ideal para análise de áreas;
- **Orthographic:** Mínima distorção, mais “natural” ao olho humano.

4.2. Características e Aplicações

Campo de Visão: Configurável até 180°, permitindo capturar toda uma semi-esfera numa única imagem.

Aplicações Práticas:

- Visualização arquitetónica de interiores;

- Sistemas de segurança e vigilância;
- Efeitos artísticos e criativos;
- Fotografia 360° (com múltiplas capturas).

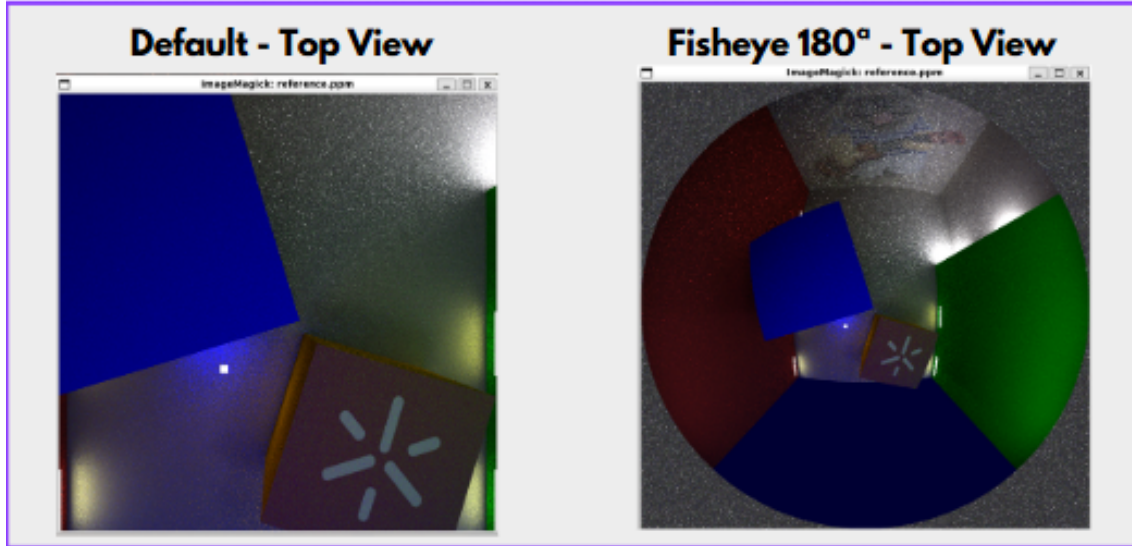


Figura 3: Perspective VS Fisheye 180°

4.3. Orthographic Camera

A câmara ortográfica elimina completamente a perspetiva, sendo essencial para aplicações técnicas:

Características:

- Todos os raios são paralelos;
- Objetos mantêm o mesmo tamanho independentemente da distância;
- Sem pontos de fuga.

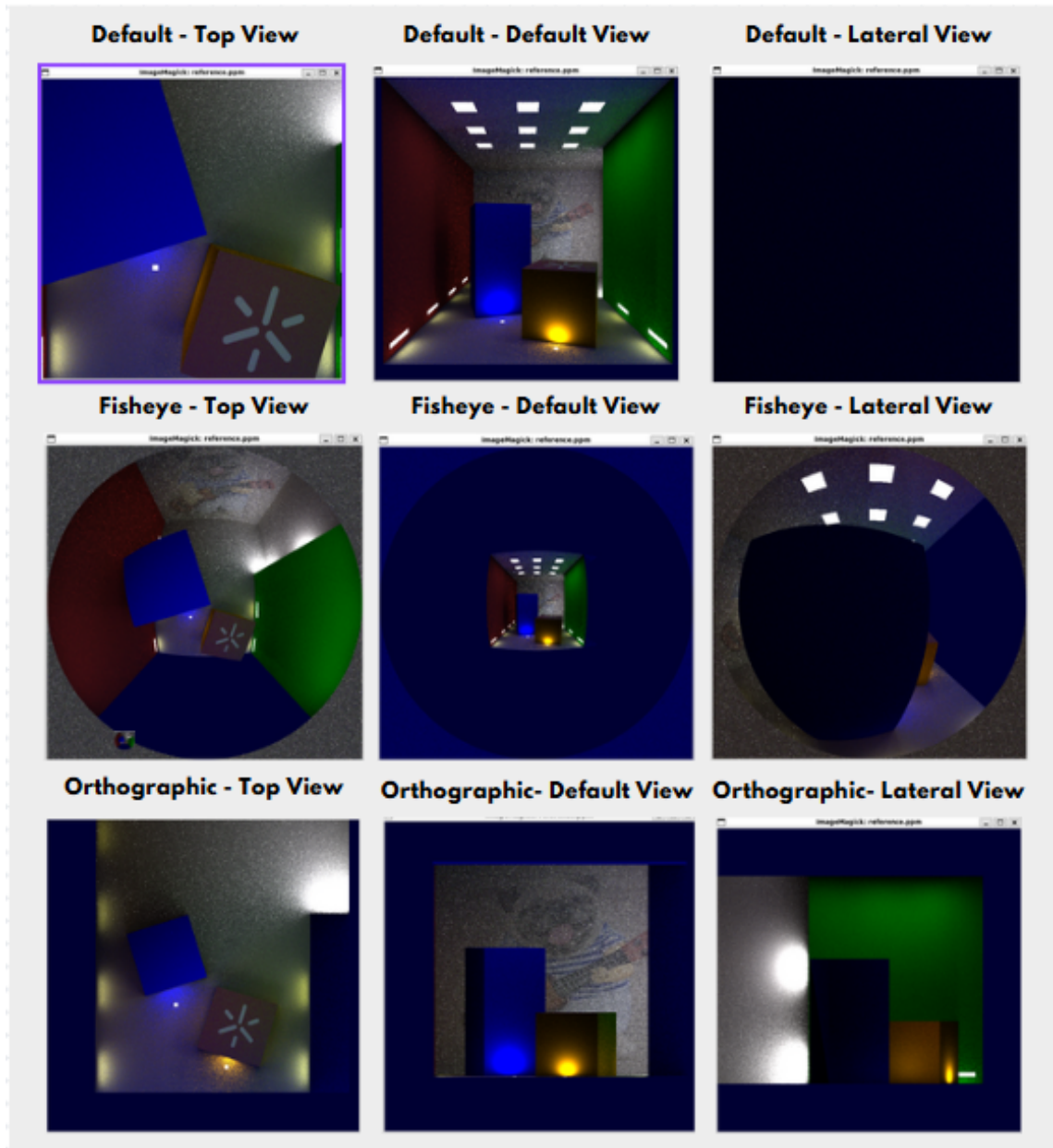


Figura 4: Comparação visual entre as diferentes câmaras e angulos

4.4. Performance

Todas as câmaras mantêm complexidade **O(1)** por raio gerado, sem *overhead* adicional comparado com a câmara perspetiva tradicional. A diferença de performance entre elas é passível de ser ignorada (<1%).

5. Conclusão

Em suma, na nossa opinião, conseguiu-se concluir todas as *features* escolhidas com um bom resultado e desempenho.

As três funcionalidades implementadas elevam, não só a complexidade, mas, principalmente, a capacidade do *Ray Tracing*:

- **BVH** transformou o sistema de um protótipo académico num *render* capaz de lidar com cenas de produção. Com este tipo de algoritmo torna-se plausível trabalhar com modelos mais complexos do que os dados no *BuildScenes*.
 - **Tone Mapping** expandido oferece controlo profissional sobre o aspetto final das imagens.
 - **Alternative Cameras** abrem novas possibilidades criativas e técnicas, desde visualizações arquitectónicas precisas até efeitos artísticos imersivos.
-

Quanto às possíveis melhorias no projeto, poderia-se ter implementado mais câmaras, pois daria maior variabilidade às imagens geradas. Poderia-se ter criado mais cenas para se conseguir explorar melhor algumas funcionalidades, principalmente, as diferentes configurações do *FishEye*, uma vez que fica pouco evidente as diferenças entre as quatro possíveis. Quanto ao *BVH*, poderia-se melhorar a forma de acesso às luzes, o que melhoraria, ainda mais, o desempenho da renderização da cena.

6. Referências

- [1] Pharr, M., Jakob, W., & Humphreys, G. (2016). Physically Based Rendering: From Theory to Implementation (3rd ed.). Morgan Kaufmann. Capítulos 4 e 6.3.
- [2] Pharr, M., & Humphreys, G. (2010). Physically Based Rendering: From Theory to Implementation (2nd ed.). Morgan Kaufmann. Capítulo 4.3.
- [3] Wikipedia Contributors. (2024). Tone mapping. https://en.wikipedia.org/wiki/Tone_mapping
- [4] Hable, J. (2024). Tone Mapping. <https://64.github.io/tonemapping/>